

1. 耐圧ガラス球入深海カメラ

服部 陸男^{*1} 橋本 健^{*1} 名執 薫^{*1}

2種類のガラス球、JE-36-32（外径36cm、内径32cm、重量16kg、実効浮力8kg）、JE-36-33（外径36cm、内径33cm、重量12.5kg、実効浮力12.5kg）について、センターの高圧実験水槽で3回耐圧試験を実施した。試験内容は、1) 1,007kg/cm² 加圧、2) 680kg/cm² 加圧後0~300kg/cm² の加振試験を0.09 cpm で19回、3) 670kg/cm² 加圧後0~650kg/cm² の加振試験を0.12 cpm で6回、であった。1), 2) の試験では全球健全、3) では6回目に全球破壊した。ガラス球入り深海カメラは、深海テレビのフレームに取付けて、相模湾で1,000~1,470mまで10回、小笠原東北方水深約6,200mで7回の撮影を行った。またフリーフォール式カメラの試作型の実験を相模湾の水深600~800mで行い深海魚を撮影した。なおこのカメラシステムに自航能力を持たせるために試作したマグネットカップリングを応用したスラスター（直流50W、耐圧700m）についても報告する。

Study on the Deep Sea Camera Installed in Submersible Glass Spheres

Mutsuo Hattori^{*2}, Jun Hashimoto^{*2}, Kaoru Natori^{*2}

Two types of the submersible glass spheres were tested in the high pressure test tank of JAMSTEC. They were JE-36-32 (O. Dia.: 36 cm, I. Dia.: 32 cm, Weight: 16 kg, Net Buoyancy: 8 kg) and JE-36-33 (O. Dia.: 36 cm, I. Dia.: 33 cm, Weight: 12.5 kg, Net Buoyancy: 12.5 kg). Pressure tests were carried out in 3 manners as follows. 1) Increasing pressure test for 1,007 kg/cm², 2) After increasing pressure to 680 kg/cm², 19 cycles of pressure tests were taken into practice changing pressure from zero to 300 kg/cm² at 0.09 CPM, 3) After increasing pressure to 670 kg/cm², 6 cycles of pressure tests were carried out, changing pressure from zero to 650 kg/cm² at 0.12 CPM. At the tests of 1) and 2), all spheres were safely recovered having no signs of breakage or hydraulic fracturing. In the case of the test 3), all spheres were broken down at the sixth loading of pressure.

The deep sea camera installed in the glass sphere was equipped on the frame of the deep sea TV, and was sunk down to the depths between 1,000 m to 1,470 m, for about 10 times at Sagami Bay, and to the depths of 6,200 m for about 7 times at NE of the Bonin Islands, and took pictures.

Trialy manufactured prototype free-fall camera was also tested in the depths of 600~800 m at Bay Sagami, and successfully took pictures of deep sea fishes.

The paper also describes on the test of a prototype magnet coupling thruster (DC 50W, Submersible limit 700 m) for propel the camera above mentioned.

^{*1} 海洋利用技術部

^{*2} Marine Utilization Technology Department

1. まえがき

この研究は、国産耐圧ガラス球の開発と、その効果的な利用を目的として1974年より開始したもので、2種類の耐圧ガラス球の開発と、耐圧ガラス球入深海カメラの試作についてはすでに報告した（橋本、服部、1977）。今回は、1976～1977年にかけて行った高压水槽による耐圧試験と、耐圧ガラス球入深海カメラの海域での実用例、自由落下、浮上式カメラの相模湾における試験およびカメラに自航能力を持たせるために試作したスラスタについて述べる。

この研究を進めるにあたり種々御力添え下さった東京大学海洋研究所の小口節子技官、理化学研究所の高野健三博士および当センター研究員土屋利雄、高橋賢一の両氏に謝意を表します。また相模湾の海域の使用に際し快く御用意いただいた、長井町漁業協同組合および大楠漁業協同組合の組合長はじめ組合員の方々に深く感謝の意を表します。

2. 耐圧試験

2種類の耐圧ガラス球についてセンターの高圧実験水槽を使用して、1976年8月～9月にかけて耐圧試験およびシール方法の試験を行った。この試験は高圧実験水槽の慣熟運転に便乗して行ったものであり、水槽の運転要領をセンター職員が体得するのが第1の目的であるので、加圧、降圧の圧力勾配、加振運転のサイクル数は通常の耐圧試験とは異なるものである事を附記する。試験したガラス球は

- ① JE-36-32；外径36cm、内径32cm、肉厚2cm、空中重量16kg、実効浮力8kg
- ② JE-36-33；外径36cm、内径33cm、肉厚1.5cm、空中重量12.5kg、実効浮力12.5kgで、両球の加圧に対する優劣を決定するのもこの試験の目的の1つであった。この時点までに、JE-36-32球については、高压水槽で500kg/cm²まで、海域で5,910mまで試験しており前者の場合は内壁にかろうじて認められる程度のチッピング、後者の場合はジョイント面にかなりのチッピングが認められたが実用上はさしつかえないという結果が出ており、JE-36-33については今回が最初の耐圧試験であった。この耐圧試験の目的は；
- ① 実用水深を6,700mと設定してその1.5倍

～1,005kg/cm²までの加圧

- ② 実用水深相当～670kg/cm²までの加圧
- ③ 水槽の運転訓練の範囲内の加振運転
- ④ 各種シール方法の比較
- ⑤ JE-36-32、JE-36-33両球の耐圧性の比較

であり、加圧、定圧保持、降圧のスケジュールは、0～670kg/cm²まで約40分で加圧し、2～30分定圧保持して後約60分で降圧する事を目標としたが水槽の弁の開閉のトラブル等で必ずしも目標通りには実行できなかった。この時試験したシール方法は3種類であった。それらは、

- ① 海洋研式：ジョイント面にシリコングリスを塗り、面の外側に生ゴムを巻き、その上に防食テープを巻きさらにホースバンドをかける、小口（私信）。
- ② ベントス式：ジョイント面になにも塗らず、面の外側に生ゴムを巻き、その上に防食テープを巻き、さらにホースバンドを十文字にかける。（ベントス社マニュアル）
- ③ センター式：ジョイント面にシリコングリスを塗り、面の外側から防食テープを巻き、その上からジョイント面の横ずれを防ぐためのホースバンドを巻く。

方式である。以下3回行った試験の結果を記す。

- 1) 0～1,007kg/cm²耐圧試験
設定した実用水深6,700m(670kg/cm²)の1.5倍～1,005kg/cm²を目標として加圧した。
試験球：JE-36-33, 1個、JE-36-32, 2個。
0～1.007kg/cm²まで71分で加圧、21分定圧保持、78分で降圧、加圧中弁のトラブルで加圧停止期間があったが加圧中の昇圧率は1分あたり14kg/cm²以上であった。降圧後0.06CPMで0～200kg/cm²、2サイクル、0.06CPMで0～400kg/cm²、2サイクルの加振運転を行った。

所見：

- ① JE-36-33球：海洋研式シール
剥離もなく全く健全
- ② JE-36-32球：ベントス式シール
内面ジョイント面に多量の剥離
- ③ JE-36-32球：海洋研式シール

外面頂部に $5 \text{ cm} \phi$ 厚さ $2 \sim 3 \text{ mm}$ の大剥離
1ヶ所、内面に小剥離

2) $0 \sim 670 \text{ kg} / \text{cm}^2$ 耐圧試験

シールの方法を比較するために行った。

試験球： JE-36-33, 2個, JE-36-32, 2個,
ベントス社製品10インチ球1個（コネ
クタ付、マイク内蔵、内部音モニタ用）
 $0 \sim 680 \text{ kg} / \text{cm}^2$ （実行）まで43分で昇圧、20分
間定圧保持し、56分で降圧した。この後 $0 \sim 300$
 kg / cm^2 の加振運転を 0.09 CPM で19サイクル行
った。

所見：

- ① JE-36-33球：センター式シール
剥離もなく全く健全
- ② JE-36-33球：海洋研式シール
剥離もなく全く健全
- ③ JE-36-32球：センター式シール
外面、内面に少量の剥離
- ④ JE-36-32球：海洋研式シール
生ゴムがジョイント面に侵入し、 500 cc 程
度浸水、内面に少量の剥離

3) $0 \sim 650 \text{ kg} / \text{cm}^2$ 加振試験

0.75 CPH で破壊の前兆がマイクに聞えるまで
加振運転する予定であったが、水槽の運転訓練の
都合により $0 \sim 670 \text{ kg} / \text{cm}^2$ まで1回加圧試験の後
加振運転をする事になった。

試験球： JE-36-33, 2個, JE-36-32, 2個,
ベントス社10インチ球（コネクタ付、
マイク内蔵）1個。

$0 \sim 670 \text{ kg} / \text{cm}^2$ まで26分で昇圧し、18分定圧保
持した後、18分で降圧。マイクモニタに異常音無
く、水槽系にも異常なし。次に 0.12 CPM にて 0
 $\sim 650 \text{ kg} / \text{cm}^2$ の加振運転を行った。6サイクル目
の加圧中に、破壊音が聞え、水槽内圧力が降下し、
すぐ復元した。この時の水圧は $630 \text{ kg} / \text{cm}^2$ であり、
ここで加圧を停止した。

所見：全球 $30 \sim 300 \mu$ の細粒に分解。

この耐圧試験により得られた結果を要約する。

- ① 耐圧ガラス球を $0 \sim 670 \text{ kg} / \text{cm}^2$ まで8個、
 $0 \sim 1.007 \text{ kg} / \text{cm}^2$ まで3個各1回加圧したが
破壊しなかった。
- ② シールの方法はセンター方式が1番確実簡
便である事を確認した。
- ③ JE-36-32は剥離するが JE-36-33は
剥離を示さず、製品として JE-36-33の方

が完全である。（ちなみに昭和50年度以降、
JE-36-32球は製造を行っていない）

- ④ $0 \sim 670 \text{ kg} / \text{cm}^2$ まで1回加圧した後、 $0 \sim$
 $650 \text{ kg} / \text{cm}^2$, 0.12 CPM の加振運転6回目に、
JE-36-32球2個、JE-36-33球2個、
ベントス球1個が破壊した。
- ⑤ JE-36-33球はセンター方式のシールで、
最大 $10,000 \text{ m}$, 常用 $6,700 \text{ m}$ の水深で使用で
きる。

今までの試験の結果では、まだ繰り返し使用回
数についてのデータが不足で常用水深で何回まで
使用できるか判然としない。この試験の後1977
年の6月に海域で深海テレビのフレームに取付け
て写真撮影する機会があり、水深約 $6,100 \sim 6,200$
 m まで7回の撮影を行った。この時3対のガラス
球を使用した。1対については7回、2対につい
てはそれぞれ3回および4回海底まで吊下したが
健全であった。使用した球は JE-36-33球で、
水温の変化のためか水槽試験では認められなかっ
たジョイント面内側での剥離が発生した。ガラス
球内部にカメラおよびストロボを取り付けていたた
め1回毎に開閉を行い、不注意からジョイント面
のずれによる剥離の進行を防ぐために取り付ける
合いマークを取り付けずに1回毎に異なる面で球を
シールし剥離の進行を助長する結果となった。そ
れにもかかわらず7回使用した球には厚さ 2 mm 程
度のジョイント面内側一帯の剥離以外の異常は認
められず、勿論この程度の剥離は使用上問題がな
いものである。これ以後使用の実績が無いので海
域で $6,000 \text{ m}$ 以上で多数回使用する際は、試験し
た最高圧の時取り付けた合いマークに従ってシ
ールし、7回以上使用する時は剥離の状態を良く見
て注意して使用する以外今の所方法がなさそうで
ある。高圧水槽による繰り返し加圧試験の機会も
今の所ない。以上の試験および海域での実用の結
果では、ベントス社の球に発生したという “Hy
draulic fracture” (Raymond, 1969, 1975) によ
るクラック又は破壊が発生したとは考えられず、
この fracture による破壊が我々の球の場合に発
生するのかしないのかも疑問である。使用上注意
すべきことを下記する。

- ① 水深 $5,000 \text{ m}$ 以上で使用する時はあらかじ
め使用水深以上の水深あるいは相当する水圧
で試験すること。これにより歪検査、あるいは
は肉眼で判らぬ欠陥による破壊をチェック出

を使用した場合、鮮明な映像を得る
交りとドーム窓の半径は、f 2.8 で
約21cm, f 8 で約11cmよりも大き
くなる (Patterson, R. B. 1966)。
る計算値は約16cmであり、我々のカ
5.6より絞りこんで使用すれば良い
々の使用したレンズはズイコ-24mm
60mm f 1.8であったが、どちらも入
正しくレンズの中心になる様にガラ
ラを固定し、鮮明な写真を得ている。
は、科学技術庁よりの委託研究によ
のフレームに取付けて、1976年7月に
、水深1,000~1,470mまで10回、
笠原東北方沖水深6,100~6,200m
を行い、深海カメラとしての実用性
深6,150mで撮影した写真を写真-1

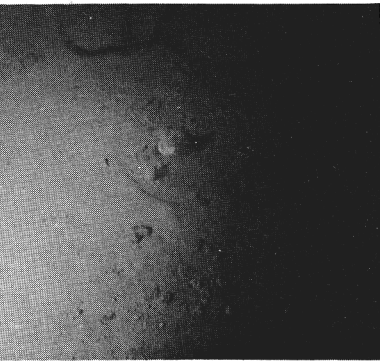


写真 北東沖合水深6,150mの海底写
真 30°, 東経146度50分
Photography of northwestern
oceanward off Bonin Isls.,
ometers. Lat. 30°N, Long. 146°50'E

フォールカメラ

球入深海カメラは、自分で浮力を有
の深海カメラに比較して軽量、安価
リーフォール型として使用する
る。我々がさしあたって必要だと考
下の2つの型である。

物撮影用：比較的長時間海底に設置
し、餌をつけて、集まって来る底棲生物を撮影す
る。

来までの使用を保証できる。

- ② 水圧試験の時のシールした位置に合いマー
クをつけ、必ずその場所を合わせてシールす
る。
- ③ 安全性を考慮して、繰り返し多数回使用す
る場合、長期間海底に設置する場合、水深,
6,700m以上で使用する場合は、粘着性のテ
ープ（たとえば古河電工のバルコテープ）で
シールした上に通常のシール方法をして使用
する方が良さそうである。

3. 耐圧ガラス球入深海カメラによる撮影

耐圧ガラス球に市販のモータードライブカメラ、
タイム、ストロボ等を組み込んで作成したカメラ
システムについてはすでに報告した（橋本、服部、
1977）。ここではカメラを実際に使用する時の制
限について少し述べ、海域で使用した実例を示す。

視野の広い写真を撮影するためにガラスの半球
を写真撮影用のドーム窓として使用した実例とし
ては、Patterson, R. B. (1966, 1972), Buchanan,
C. L. (1971 a, b) その他があり、日本ではベントス社の17インチ球にニコン魚眼レンズを
使った寺本等 (1972), 小口等 (1974) の先駆的研究がある。ガラス半球をドーム窓として利用して
写真を撮影する場合、海水 ($Nd = 1.33$)、とガ
ラス球 ($Nd = 1.47$) の屈折率が近いのでカメラ
に対し凹レンズ効果を与える。この場合、画角は
変わらないが距離が変るので実測するか計算しなくて
はならない。またガラス半球をドーム窓として
使用し補正レンズを使用しない場合は、レンズの
入射瞳の位置を球の中心に正しく位置させなくて
はならない。この場合でも、収差やピントのブレ
のない条件は、ガラス球の内径、使用するレンズ
の焦点距離、絞りによって規定される。ドーム窓
を使用した事により主として屈折しない光により
像を形成しているので収差、ひずみはほとんど考
慮しなくて良く、又ドームの内径が33cmである
ので半径66cmの球面の像がフィルム面に形成される
事になり、ドームによる球面の像の影響もまぬが
れる事ができる。またドームにより形成される像
をカバーできるレンズの被写界深度とドームの内
径の関係を計算しておけば、ドーム窓の半径に対
する、使用レンズの絞りの限界が把握できるので
鮮明な写真を撮影することが可能である。内径33
cmのガラス球をドーム窓とし、ズイコ-24mm, F

2.8

ために

約31cm

ければ

f 5,6

メラの

事にな

f 2.8

射瞳の

ス球内

この

る深海

伊豆大

翌年

で7日

を示

に示す



写真 1

A boat
Pacific
dept

4.

耐圧
し、
である
にも対
えた

(1)

② 海底撮影用：迅速に降下、浮上して広範囲の海底を撮影する。

どちらの型も基本的に必要な装置は、カメラ球、ストロボ球、軽量フレーム、降下用重錨および切離装置、海面に浮上して来た時に発見するためのラジオ送信器およびフラッシャーである。切離装置としては開発工業製のタイマー式深海切離装置を、ラジオ送信器およびフラッシャーはOAR社(米国)製のものを使用し、耐圧ガラス球2個とともにこれらを、FRP製のパイプフレームに組み込んで製作した。底棲生物撮影用カメラ(ベントス用カメラ)と海底撮影用カメラ(ボトムカメラ)各1台試作した。その重量等を示す。

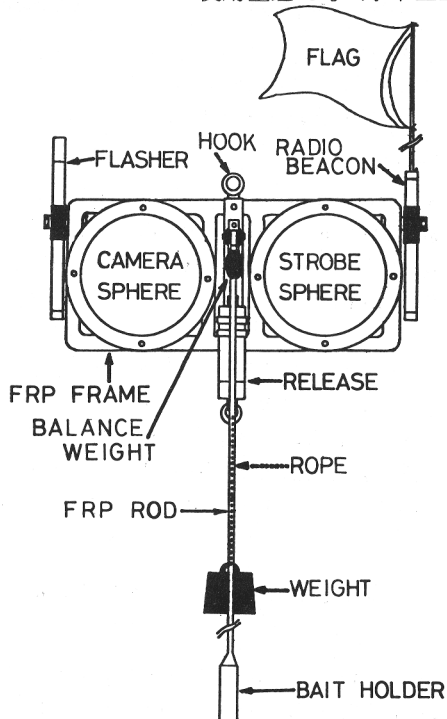
ベントス用カメラ：空中重量50kg(重錨含まず)

浮力 9kg

長さ 1m

巾 50cm

使用重錨18kg(水中重量)



A PROTOTYPE FREE-FALL DEEP SEA CAMERA

図1 底棲生物撮影用カメラ、餌付き

The baited free-fall camera for taking pictures of benthic animals

ボトムカメラ	：空中重量50kg
	浮力 10kg
	長さ 1m
	巾 50cm
	使用重錨26kg(水中重量)

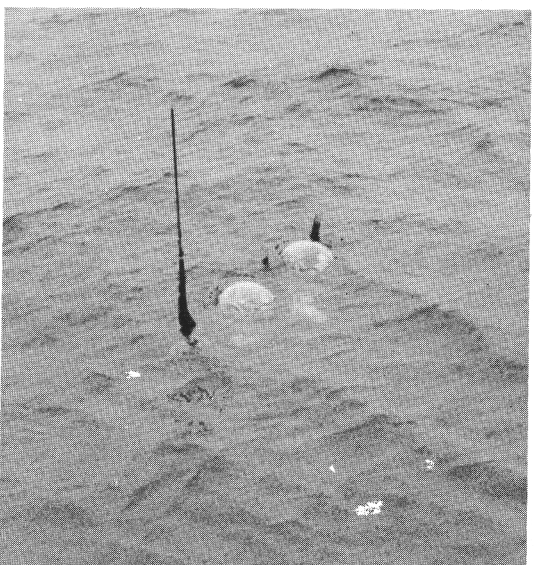
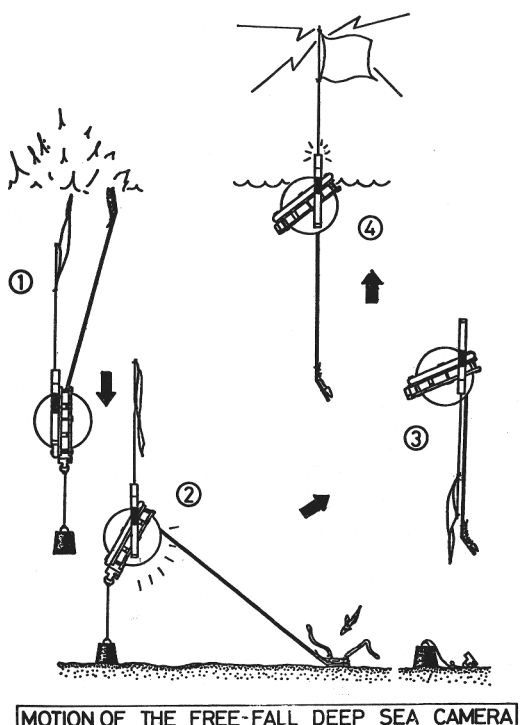


写真-2 回収前のフリーフォールカメラ

The free-fall camera before retrieval.

この2つのカメラは外観上大差ないので、ベントス用カメラの構成を図-1に、また浮上後回収直前のベントスカメラを写真-2に示す。海上実験に先立ち、この2つのカメラの落下、浮上、着底時の姿勢を、センターの超音波水槽(水深8m)において観察し、ベントス用カメラは図-2に示す姿勢をとる事を確認した。また落下、浮上速度および重錨着底後のカメラの沈下距離を計算し、重錨の重量、海底とカメラ間の距離を決定した。ベントス用カメラ落下時の抵抗係数は2.0、浮上時は5.0、ボトムカメラ落下時の抵抗係数は5.0、浮上時はたて型の姿勢をとるので0.7として計算した。

ベントス用カメラは重錨18kg(水中重量)を使用して降下速度0.93m/secで、沈下距離0.25m、浮上速度0.6m/secであり、ボトムカメラは重錨26kg(水中重量)を使用して降下速度0.83m/sec、沈下距離0.14m、浮上速度1.66m/secであった。実際に使用した時はボトムカメラを垂直に浮上させるためシーアンカーを1個取り付けたので、浮上



MOTION OF THE FREE-FALL DEEP SEA CAMERA

図2 フリーフォールカメラ（餌付き）の動き、
①落下、②撮影、③浮上中、④海面

Motion of the baited free-fall camera

- (1) descending, (2) taking a photography,
- (3) ascending, (4) on the surface

速度 1.4 m/sec 程度（水槽で測定）であった。今回の実験は相模湾の水深 1,000 m 程度が目標であったので、落下、浮上速度はこの程度で充分であるが、より深海で使用する場合 2 m/sec 程度の落下、浮上速度が必要と考えられるので、現在高速型について検討中である。

この 2 台の試作型を使用した撮影試験を 1977 年 11 月に相模湾の水深 600 ~ 800 m において行った。結果の詳細については別途報告する予定であるので簡単に述べる。水深 600 m においてボトムカメラ 1 回、ベントス用カメラは水深 600 m で 1 回、800 m で 2 回試験し、4 回とも回収に成功した。海底に着底していた時間はボトムカメラで 30 分、ベントス用カメラで 2 時間から 2 時間半であった。浮上予定期刻から電波の受信までは 5 分から 15 分、受信から回収終了までは 30 分程度であり、カメラ投入地点と発見地点の距離は最大 1.5 km 程度であった。ベントス用カメラには餌用のポールを取り

付け、鰆の片身をその先端につけておいたが 3 回とも骨とえらのみ残して、肉、皮の部分は無くなっていた。ボトムカメラは海底との距離を 4 m とし、GN65 のストロボを使用して広範囲の写真撮影を試みたが海底のにぎりがひどく鮮明な写真は得られなかった。ベントス用カメラで撮影した海底もかなり透明度が悪かったが、魚類としては、そこだら類、円口類等が認められ、円口類は餌に



写真3 餌付きのフリーフォールカメラによる写真、円口類が認められる。水深約 600 m 江ノ島南方 15 km

The free-fall camera before retrieval

The photography taken by baited camera, shows cyclostomes fishes, depth about 600 meters, 15 KM's southward off Enoshima, Sagami Bay.

むらがっている様子が良く観察された。写真 - 3 図 - 6 に撮影した写真の一部を示す。今回は底質が泥質の海底のみの撮影しか行えなかったが、水深底質の異なる海底には別な底棲生物が生存する可能性があるので別の機会に撮影して見る価値があるろう。

5. マグネットカップリングを応用した スラスター

主として海底から映像その他の情報を得る調査機器を海底又は海底近くで使用するためには、専用のケーブルあるいはケーブル付の他の調査機器に取り付けるか、ケーブルなしで動作するシステムを開発する必要がある。有索、無索についてはそれぞれ長短があるが我々は目標を浅海域でのケーブル付無人機器、深海域でのプログラムコントロール付自航式カメラに設定し、第 1 段階として

スラスタの試作を行った。既存の外国製スラスタの購入、又は国内メーカーへの製作依頼は、費用、技術力の面から不可能であると判断し、独自に開発する事にした。直径36cmのガラス球を1～2ノットで推進することが可能で、伝達ロスが無く、軸からの水漏も考慮する必要がないため構造的に簡単であり、安価である事から、市販のマグネットカップリングの応用を考え2台試作した。これは極数6のマグネットの円盤を耐圧殻をへだてて同期回転させ、貫通軸なしで耐圧殻内部のモーターの回転をプロペラに伝達するものである。

耐圧殻としては非磁性でかつ安価な点からガラスのシリンダーを試験的に使用したが、試験中にひび割れが発生したためアルミ合金に変更した。この変更のため伝達トルク、耐圧殻の耐圧水深に必然的に不利な条件が生じたが試作型であるので、実用化へのデータを得るため作動試験、耐圧試験を行った。以下モーター、スラスタの要目を記す。

電動機：

出 力	50w (D. C)
定格トルク	1.22 kg · cm
定格回転数	4,000 rpm
起動トルク	7.3 kg · cm
減速機；減速比	1/9
カップリング軸；	
定格トルク	1.22 × 9 = 11kg · cm
起動トルク	7.3 × 9 = 66kg · cm
定格回転数	4,000 × 1/9 = 444 rpm
寸 法	110φ × 22 mm
設計ギャップ	10mm (20mmで使用)
極 数	6

耐圧殻；高力アルミニウム合金A 7075-T6

外 径	177 mm
肉 厚	8.5 mm
長 さ	170 mm
蓋 部	20 mm
底 部	15 mm
プロペラ；アルミ合金鋳物 AC 7 AF	
直 径	266 mm
ピ ッ チ	158 mm
翼 数	3

耐圧殻は安全率4で底部の耐圧は630 mとなるが、水深700 mまで海中に吊下し耐圧性を確認した。蓋部にはOリングを使用し耐圧殻本体と蓋部との固定はステンレスキャッチクリップ2個を使

用、蓋の頂部に電源用の3mmφの穴を2つあけ、コネクタはベントス社（米国）のガラス球用コネクタを使用した。耐圧殻およびプロペラの表面には、タフラム処理を行った、耐圧殻にはあらかじめ電源用の穴を開けた後タフラム処理を行ったが、この処理は絶縁性が非常に高く、電源用のコネクタを絶縁しないで使用する事ができた。なお使用したマグネットカップリングは、住特通商㈱の設計、製作によるものである。設計時のギャップは10mmとしたが、耐圧殻の変更により実際はギャップ20mmで使用した。

作動試験は、センターの潜水訓練プールにおいて有線で行った。作動試験中の状況を写真-4に示す。これは、28mmφのFRPパイプをT字型に組

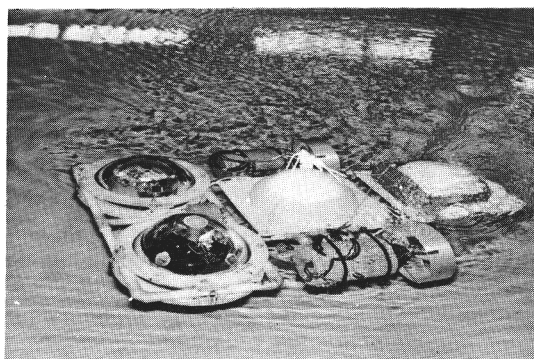


写真4 試験中の自航式カメラ
Immersion way of test pieces

立、前部にカメラ球、ストロボ球、これに直角にブイ用のガラス球2個を取り付けたもので、スラスタ2個を浮心の両側に配置し、浮力およびバランス調整用の重錘を取り付けた時、重量120kgであった。スラスタの回転方向は外廻りとした。試験の結果を以下に記す。

- ① 電源電圧18Vを起動時から投入すると同期不整でプロペラが回転しない場合があった。
 - ② 電源を階段的に投入すると（たとえば6, 12, 8 V）なめらかに回転した。これは直流安定化電源を使用して0～18Vまで昇圧しても、バッテリ（6 V）を使用して6, 12, 18 Vと急激に切り換えた場合でもプロペラは同期して回転した。
 - ③ 2軸フル回転で約1.5ノットで走行し、直進性も良好であった。
- 試作および試験の結果この方式で充分実用可能

であることが判ったので、今後浅海用と深海用の
2種類のスラスタの試作とコントロール装置の研

究を行う予定である。

- (1) Benthos Inc., "Instruction Manual Model 2040, Spherical Glass Instrument Housing IM 2040"
- (2) Buchanan, C.L., 1971 a, "Deep Ocean Search by Visual, Acoustic and Magnetic Sensors", IEEE Transactions on Audio and Electro-acoustics, Vol. AU-19, No. 2, June, pp. 124-132.
- (3) ———, 1971 b, "Advances in Photographic Techniques for Ocean Floor Search", Proc. SPIE Seminar-in-Depth on Underwater Photo-Optical Instrumentation Applications, pp. 145-152.
- (4) 橋本惇, 服部陸男, 1977, "耐圧ガラス球を用いた深海カメラシステムの試作について", 海科技センター試験研究報告, 第1号, pp. 26~31,
- (5) Oguchi, S. et al., 1974, "Physical studies of the bottom boundary layers", Preliminary Report of the Hakuho Maru Cruise KH-73-2, Ocean Res., Inst. Univ. of Tokyo, pp. 61-66.
- (6) Patterson, R.B., 1966, "A Wide Angle Camera for Photographic Search of the Ocean Bottom", Proc. SPIE Seminar Underwater Photo-Optics, pp. C-XII-1-C-XII-8.
- (7) ———, 1971, "Inspection of Manganese Deposits in Deep Water", in Horn, D.R. (editor)-Ferromanganese Deposits on the Ocean Floor-, pp. 251-262.
- (8) Raymond, S.O., 1969, "Glass Instrument Housing for Ocean Use", Oceanogr. Int., Brighton, Eng.
- (9) ———, 1975, "Hollow Glass Sphere under Pressure in the Ocean-Experiments show Interesting Properties", IEEE OCEAN' 75, San Diego, pp. 537-544.
- (10) 寺本俊彦, et al., "水中写真による内浦湾の底質と水質に関する所見", O S R 昭和47年報告書(手稿)。